



UNIVERSITÉ
CÔTE D'AZUR

Master 2 - Ingénierie Numérique

Master Ingénierie Mathématique

Mise en Œuvre des Éléments Finis

Compte Rendu - Projet

Étudiante :
Sarah ALI

Professeur :
Dr. Nkonga BONIFACE

Janvier 2026

Contents

| | |
|--|-----------|
| 1 CODE | 3 |
| 1.1 Généralisation du terme source : | 3 |
| 1.2 Généralisation de Composite_Mat | 3 |
| 1.3 Définition des fonctions de base P3 | 5 |
| 1.4 Définition des Gradient des fonctions de bases P2 & P3 | 6 |
| 1.5 Les points de Gauss | 8 |
| 1.6 Boucle De résolution et d'assemblage | 10 |
| 2 Analyse des résultats | 11 |
| 2.1 Problème de Réaction | 12 |
| 2.1.1 Éléments Finis P1 | 12 |
| 2.1.2 Éléments Finis P2 | 12 |
| 2.1.3 Éléments Finis P3 | 12 |
| 2.2 Problème de Diffusion Isotropique | 14 |
| 2.2.1 Éléments Finis P1 | 14 |
| 2.2.2 Éléments Finis P2 | 14 |
| 2.2.3 Éléments Finis P3 | 14 |
| 2.3 Problème de Diffusion Anisotropique -1 | 16 |
| 2.3.1 Éléments Finis P1 | 16 |
| 2.3.2 Éléments Finis P2 | 16 |
| 2.3.3 Éléments Finis P3 | 16 |
| 2.4 Problème de Diffusion Anisotropique - 2 | 18 |
| 2.4.1 Éléments Finis P1 | 18 |
| 2.4.2 Éléments Finis P2 | 18 |
| 2.4.3 Éléments Finis P3 | 18 |
| 2.5 Problème de Diffusion Anisotropique - 3 | 20 |
| 2.5.1 Éléments Finis P1 | 20 |
| 2.5.2 Éléments Finis P2 | 20 |
| 2.5.3 Éléments Finis P3 | 20 |
| 2.6 Problème de convection - 1 | 22 |
| 2.6.1 Éléments Finis P1 | 22 |
| 2.6.2 Éléments Finis P2 | 22 |
| 2.6.3 Éléments Finis P3 | 22 |
| 2.7 Problème de convection - 2 | 24 |
| 2.7.1 Éléments Finis P1 | 24 |

| | | |
|-------|--|----|
| 2.7.2 | Éléments Finis P2 | 25 |
| 2.7.3 | Éléments Finis P3 | 26 |
| 2.8 | Problème de Convection-Réaction-Diffusion anisotrope | 28 |
| 2.8.1 | Éléments Finis P1 | 28 |
| 2.8.2 | Éléments Finis P2 | 28 |
| 2.8.3 | Éléments Finis P3 | 28 |

1 CODE

1.1 Généralisation du terme source :

```
1 function [out] = f(X,kx,ky,bx,by,cx,cy,alpha)
2     x = X(1)
3     y = X(2)
4     out = (alpha + bx*kx * kx + by*ky * ky) * Exact(x, y, kx, ky)
5         + cx*kx*cos(kx*x)*cos(ky*y)-cy*ky*sin(kx*x)*sin(ky*y)
5 endfunction
```

Listing 1.1: Correct RHS

Avec Cette nouvelle définition du terme source, le code tourne correctement avec les différents paramètres qu'on définit.

1.2 Généralisation de Composite_Mat

```
1 function [Conv, Reac, Diff] = Composite_Mat(Xg, pb, Lx, Ly,
2     Ne, i, mExp)
3 // ----- defaults (optional args) -----
4 // allowed calls:
5 //     Composite_Mat(Xg, pb, Lx, Ly, Ne)
6 //     Composite_Mat(Xg, pb, Lx, Ly, Ne, i)
7 //     Composite_Mat(Xg, pb, Lx, Ly, Ne, i, mExp)
8
9 if argn(2) < 6 then
10     i = 0;           // by default: no h-scaling trick
11 end
12 if argn(2) < 7 then
13     mExp = 1;        // default exponent for dh^m
14 end
15
16 // ----- base init (always return something) -----
17 Conv = [0.0 ; 0.0];
18 Reac = 0.0;
19 Diff = diag([0.0; 0.0]);
```

```

20
21 // ----- choose problem -----
22 select pb
23
24 case 1 then
25     Conv = [0.0 ; 0.0];
26     Reac = 1.0;
27     Diff = diag([0.0; 0.0]);
28
29 case 2 then
30     Conv = [0.0 ; 0.0];
31     Reac = 0.0;
32     Diff = diag([1.0; 1.0]);
33
34 case 3 then
35     Conv = [0.0 ; 0.0];
36     Reac = 0.0;
37     Diff = diag([1.0; 2.0]);
38
39 case 4 then
40     Conv = [0.0 ; 0.0];
41     Reac = 0.0;
42     Diff = diag([1.0; 0.0]);
43
44 case 5 then
45     Conv = [0.0 ; 0.0];
46     Reac = 0.0;
47     Diff = diag([1e-8; 1.0]);
48
49 case 6 then
50     Conv = [0.5 ; 1.0];
51     Reac = 0.0;
52
53     if i == 1 then
54         dh = sqrt(Lx*Ly/Ne);
55         Diff = diag([dh^mExp; dh^mExp]);
56     else
57         Diff = diag([0.0; 0.0]);
58     end
59
60 case 7 then
61     Conv = [1.0 ; 0.5];
62     Reac = -5.0;
63     Diff = diag([1.0; 2.0]);
64
65 else
66     error(msprintf("Composite_Mat: unknown pb = %d", pb));
67 end

```

```

68
69  endfunction

```

Listing 1.2: Composite_Mat

Dans cette fonction, j'ai ajouté les modification suivantes :

- pb = 1 ; problème de réaction avec

$$\text{betx} = 0, \quad \text{bety} = 0, \quad \text{cx} = 0, \quad \text{cy} = 0, \quad \text{alpha} = 1.$$

- pb = 2 ; problème de diffusion isotrope avec

$$\text{betx} = 4, \quad \text{bety} = 4, \quad \text{cx} = 0, \quad \text{cy} = 0, \quad \text{alpha} = 0.$$

- pb = 3 ; problème de diffusion anisotrope avec

$$\text{betx} = 1, \quad \text{bety} = 2, \quad \text{cx} = 0, \quad \text{cy} = 0, \quad \text{alpha} = 0.$$

- pb = 4 ; problème de diffusion anisotrope avec

$$\text{betx} = 1, \quad \text{bety} = 0, \quad \text{cx} = 0, \quad \text{cy} = 0, \quad \text{alpha} = 0.$$

- pb = 5 ; problème de diffusion anisotrope avec

$$\text{betx} = 10^{-8}, \quad \text{bety} = 1, \quad \text{cx} = 0, \quad \text{cy} = 0, \quad \text{alpha} = 0.$$

- pb = 6 ; problème de convection avec

$$\text{cx} = 0.5, \quad \text{cy} = 1.0, \quad \text{alpha} = 0$$

.

1. $\text{betx} = 0, \quad \text{bety} = 0$; pour $i = 0$.

2. $\text{betx} = \text{bety} = dh^m$ avec, $dh = \sqrt{Lx * Ly / Ne}$ pour $m = 1, 2, 3$.

- pb = 7 ; problème de Convection - Réaction - Diffusion Anisotrope 2D avec :

$$\text{betx} = 1, \quad \text{bety} = 2, \quad \text{cx} = 1, \quad \text{cy} = 0.5, \quad \text{alpha} = -5.$$

1.3 Définition des fonctions de base P3

```

1      function Phi = Phi_Pk(lmd1, lmd2, pk)
2      lmd3 = 1.0 - lmd1 - lmd2
3      select pk
4
5      case 1 then
6          Phi = zeros(3,1);
7          Phi(1) = lmd1 ;
8          Phi(2) = lmd2 ;
9          Phi(3) = lmd3 ;
10
11     case 2 then
12         Phi = zeros(6,1);
13         Phi(1) = lmd1.* ( 2.0*lmd1 - 1.0) ;
14         Phi(2) = lmd2.* ( 2.0*lmd2 - 1.0) ;
15         Phi(3) = lmd3.* ( 2.0*lmd3 - 1.0) ;
16         Phi(4) = 4.0*lmd1.*lmd2 ;
17         Phi(5) = 4.0*lmd2.*lmd3 ;
18         Phi(6) = 4.0*lmd3.*lmd1 ;
19
20     case 3 then
21         Phi = zeros(10,1);
22         Phi(1)= lmd1.* (3.0*lmd1-2)*(3.0*lmd1-1)/2.0;
23         Phi(2)= lmd2.* (3.0*lmd2-2)*(3.0*lmd2-1)/2.0;
24         Phi(3)= lmd3.* (3.0*lmd3-2)*(3.0*lmd3-1)/2.0;
25         Phi(4)= 9.0*lmd1.*lmd2.* (3.0*lmd1-1)/2.0;
26         Phi(5)= 9.0*lmd1.*lmd2.* (3.0*lmd2-1)/2.0;
27         Phi(6)= 9.0*lmd2.*lmd3.* (3.0*lmd2-1)/2.0;
28         Phi(7)= 9.0*lmd2.*lmd3.* (3.0*lmd3-1)/2.0;
29         Phi(8)= 9.0*lmd1.*lmd3.* (3.0*lmd3-1)/2.0;
30         Phi(9)= 9.0*lmd1.*lmd3.* (3.0*lmd1-1)/2.0;
31         Phi(10)= 27.0*lmd1.*lmd2.*lmd3;
32
33 end
34 endfunction

```

Listing 1.3: Base functions P3

1.4 Définition des Gradient des fonctions de bases P2 & P3

```

1      function GradPhi = GradPhi_Pk(lmd1, lmd2, G1, G2, pk)
2      lmd3 = 1.0 - lmd1 - lmd2;
3      G3    = - G1 - G2;
4
5      select pk
6

```

```

7      case 1 then
8          GradPhi(1,:) = G1 ;
9          GradPhi(2,:) = G2 ;
10         GradPhi(3,:) = G3 ;
11
12     case 2 then
13         GradPhi = zeros(6,2)
14
15         GradPhi(1,:) = G1*(2.0*lmd1 - 1.0) + lmd1*(2.0*G1)
16         GradPhi(2,:) = G2*(2.0*lmd2 - 1.0) + lmd2*(2.0*G2)
17         GradPhi(3,:) = G3*(2.0*lmd3 - 1.0) + lmd3*(2.0*G3)
18
19         GradPhi(4,:) = 4.0*(G1*lmd2 + lmd1*G2)
20         GradPhi(5,:) = 4.0*(G2*lmd3 + lmd2*G3)
21         GradPhi(6,:) = 4.0*(G3*lmd1 + lmd3*G1)
22
23
24     case 3 then
25         GradPhi = zeros(10,2)
26
27         GradPhi(1,:) = 0.5*(G1*(3.0*lmd1 - 2.0)*(3.0*lmd1 - 1.0) +
28                             lmd1*(3.0*G1)*(3.0*lmd1 - 1.0)+ lmd1*(3.0*lmd1 - 2.0)
29                             *(3.0*G1))
30         GradPhi(2,:) = 0.5*(G2*(3.0*lmd2 - 2.0)*(3.0*lmd2 - 1.0) +
31                             lmd2*(3.0*G2)*(3.0*lmd2 - 1.0)+ lmd2*(3.0*lmd2 - 2.0)
32                             *(3.0*G2))
33         GradPhi(3,:) = 0.5*(G3*(3.0*lmd3 - 2.0)*(3.0*lmd3 - 1.0) +
34                             lmd3*(3.0*G3)*(3.0*lmd3 - 1.0)+ lmd3*(3.0*lmd3 - 2.0)
35                             *(3.0*G3))
36
37         GradPhi(4,:) = (9.0/2.0)*(G1*lmd2*(3.0*lmd1-1)+lmd1*G2
38                             *(3.0*lmd1-1)+lmd1*lmd2*(3.0*G1))
39         GradPhi(5,:) = (9.0/2.0)*(G1*lmd2*(3.0*lmd2-1)+lmd1*G2
40                             *(3.0*lmd2-1)+lmd1*lmd2*(3.0*G2))
41         GradPhi(6,:) = (9.0/2.0)*(G2*lmd3*(3.0*lmd2-1)+lmd2*G3
42                             *(3.0*lmd2-1)+lmd2*lmd3*(3.0*G2))
43         GradPhi(7,:) = (9.0/2.0)*(G2*lmd3*(3.0*lmd3-1)+lmd2*G3
44                             *(3.0*lmd3-1)+lmd2*lmd3*(3.0*G3))
45         GradPhi(8,:) = (9.0/2.0)*(G1*lmd3*(3.0*lmd3-1)+lmd1*G3
46                             *(3.0*lmd3-1)+lmd1*lmd3*(3.0*G3))
47         GradPhi(9,:) = (9.0/2.0)*(G1*lmd3*(3.0*lmd1-1)+lmd1*G3
48                             *(3.0*lmd1-1)+lmd1*lmd3*(3.0*G1))
49
50         GradPhi(10,:) = 27.0*(G1*lmd2*lmd3+lmd1*G2*lmd3+lmd1*lmd2
51                             *G3)
52
53     end
54 endfunction

```

Listing 1.4: Gradient of base functions P2 & P3

1.5 Les points de Gauss

```
1      function [Poid, Xsi, Ngo]= IntegrationNum(Ngi)
2      Ngo = Ngi
3
4      select Ngi
5
6      case 1 then// integration numerique avec UN points de Gauss.
7
8          Poid = zeros(Ngo,1);           // column vector
9          Xsi = zeros(3, Ngo);         // 3 x Ngo matrix
10
11         Poid(1) = 0.5;
12
13         Xsi(1,:) = 1.0/3.0;
14         Xsi(2,:) = 1.0/3.0;
15
16
17     case 2 then// integration numerique avec DEUX points de Gauss
18
19         .
20
21         Poid = zeros(Ngo,1);
22         Xsi = zeros(3, Ngo);
23
24         // weights
25         Poid(1) = 0.25;
26         Poid(2) = 0.25;
27
28
29     case 3 then// integration numerique avec TROIS points de
30             Gauss.
31
32         Poid = zeros(Ngo,1);
33         Xsi = zeros(3, Ngo);
34
35         // weights
36         Poid(1) = 1.0/6.0;
37         Poid(2) = 1.0/6.0;
38         Poid(3) = 1.0/6.0;
39
40
41         // Gauss points (barycentric coordinates)
42         Xsi(:,1) = [0.5; 0.5; 0.0];
43         Xsi(:,2) = [0.5; 0.0; 0.5];
44
45
46     end
```

```

40      Xsi(:,2) = [2.0/3.0; 1.0/6.0; 1.0/6.0];
41      Xsi(:,3) = [1.0/6.0; 2.0/3.0; 1.0/6.0];
42
43      case 4 then// integration numerique avec TROIS points de
44      // Gauss.
45      Poid = zeros(Ngo,1);
46      Xsi = zeros(3, Ngo);
47
48      // weights
49      Poid(1) = -27.0/96.0;
50      Poid(2) = 25.0/96.0;
51      Poid(3) = 25.0/96.0;
52      Poid(4) = 25.0/96.0;
53
54      // Gauss points (barycentric coordinates)
55      // barycenter
56      Xsi(:,1) = [1.0/3.0; 1.0/3.0; 1.0/3.0];
57
58      // symmetric points
59      Xsi(:,2) = [0.6; 0.2; 0.2];
60      Xsi(:,3) = [0.2; 0.6; 0.2];
61      Xsi(:,4) = [0.2; 0.2; 0.6];
62
63      else
64          // une autre alternative
65          // six points de Gauss
66
67          // -----
68          Ngo           = 6;
69
70          s1 = 0.11169079483905;
71          s2 = 0.0549758718227661;
72          aa = 0.445948490915965;
73          bb = 0.091576213509771;
74          // poids de Gauss
75
76          Poid(1:3)           = s2;
77          Poid(4:6)           = s1;
78
79          // Points de Gauss xi_1 == Xsi_1
80
81          Xsi(1,1:Ngo)        = [bb, 1-2*bb, bb, aa, aa, 1-2*aa];
82          // Points de Gauss xi_2 == Xsi_2
83
84          Xsi(2,1:Ngo)        = [bb, bb, 1-2*bb, 1-2*aa, aa, aa];

```

```

85     end
86
87
88 //    Xsi_3 = 1 - Xsi_1 -Xsi_2
89 // =====
90 Xsi(3, 1:Ngo) = 1.0 - Xsi(1,1:Ngo) - Xsi(2,1:Ngo);
91
92 endfunction

```

Listing 1.5: Approximate integrals with 1,2,3,4 or 6 Gauss points

1.6 Boucle De résolution et d'assemblage

Dans cette boucle j'ai fait les modifications suivantes :

- Coefficients du problème :

```

1 [Coef_Lm , Coef_Reac , Coef_Mu] = Composite_Mat(Xg,pb,Lx ,
2      Ly , Ne); //pour le test de convergence pour le pb de
3      convection , il faut ajouter les arg i et mExp
4      bx = Coef_Mu(1,1);
5      by = Coef_Mu(2,2);
6      cx = Coef_Lm(1);
7      cy = Coef_Lm(2);
8      alpha = Coef_Reac;

```

Listing 1.6: Unpacking the coefficients

- Correction de l'appelle du terme source pour Be_k :

```

1 Be_k          = f(Xg,kx,ky,bx,by,cx,cy,alpha)*Phi_is ;

```

Listing 1.7: constructing the RHS vector

- Correction de la construction de la matrice locale Ae_k_kp :

```

1 Ae_k_kp      = (GradPhi_is * Coef_Mu * GradPhi_js')
2           + Coef_Reac * Phi_is * Phi_js
3           - Phi_js * (Coef_Lm' * GradPhi_is')

```

Listing 1.8: Locale Matrix construction

2 Analyse des résultats

Les différents problèmes ont pour solution exacte :

$$u_{exac} = \sin(\pi x) \cdot \cos(2\pi y)$$

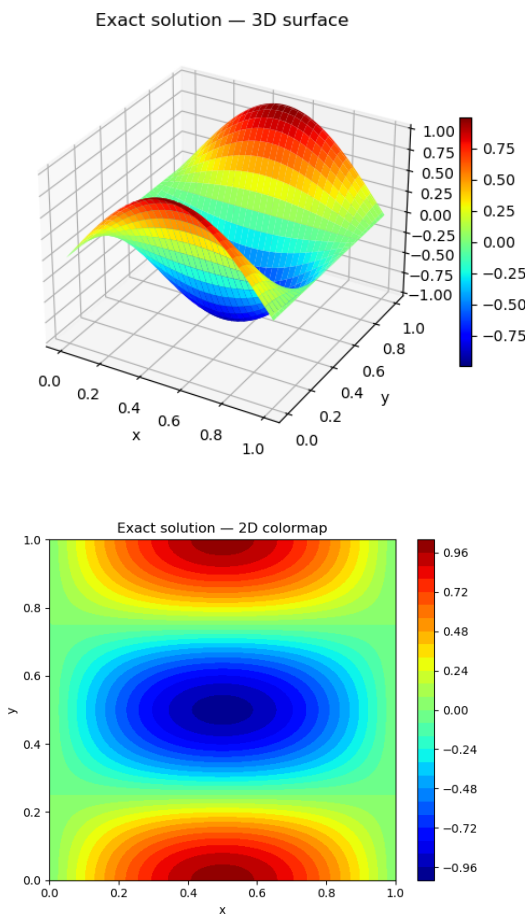


Figure 2.1: Exact solution of the problem: 3D representation (top) and 2D colormap (bottom).

2.1 Problème de Réaction

2.1.1 Éléments Finis P1

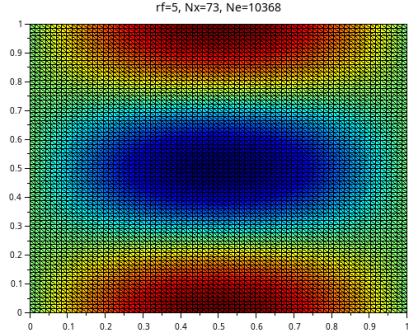


Table 2.1: Ordres de Convergences EF P1

| N_{ddl} | \mathcal{O}_{L^1} | \mathcal{O}_{L^2} | \mathcal{O}_{L^∞} |
|-----------|---------------------|---------------------|--------------------------|
| 625 | 2.15294 | 2.15900 | 2.01613 |
| 961 | 2.08818 | 2.10191 | 2.00607 |
| 3721 | 2.05417 | 2.06678 | 2.00260 |
| 5329 | 2.03301 | 2.42928 | 2.00100 |

2.1.2 Éléments Finis P2

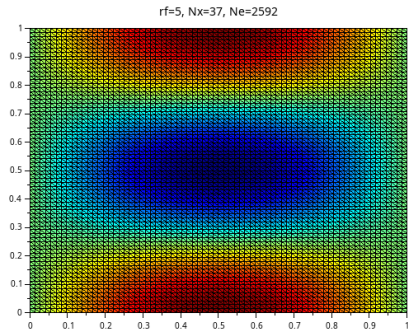


Table 2.2: Ordres de Convergences EF P2

| N_{ddl} | \mathcal{O}_{L^1} | \mathcal{O}_{L^2} | \mathcal{O}_{L^∞} |
|-----------|---------------------|---------------------|--------------------------|
| 625 | 2.85264 | 2.82079 | 2.65647 |
| 961 | 2.95548 | 2.90296 | 2.85820 |
| 3721 | 2.99312 | 2.95187 | 2.92177 |
| 5329 | 3.00648 | 2.97912 | 2.94753 |

2.1.3 Éléments Finis P3

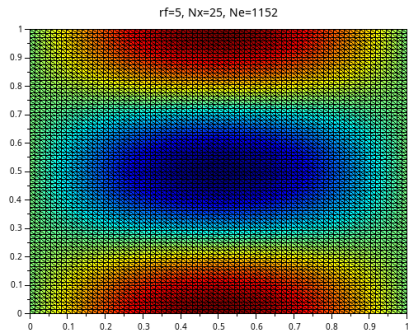


Table 2.3: Ordres de Convergences EF P3

| N_{ddl} | \mathcal{O}_{L^1} | \mathcal{O}_{L^2} | \mathcal{O}_{L^∞} |
|-----------|---------------------|---------------------|--------------------------|
| 625 | 4.74501 | 4.57589 | 3.94618 |
| 961 | 4.37001 | 4.30688 | 3.80242 |
| 3721 | 4.20338 | 4.19458 | 3.95926 |
| 5329 | 4.10402 | 4.12366 | 3.96478 |

D'après le cours, on sait que l'ordre de convergence des approximations en éléments finis, qui est directement relié au degré de la méthode.

$$\mathcal{E}_p(h) = \|u - u_h\|_{L^p(\Omega)} \leq Ch^{k+1}$$

On remarque, d'après les résultats de l'analyse de l'erreur numérique, que pour les trois degrés d'éléments finis considérés (P1, P2 et P3), l'augmentation du raffinement du maillage conduit à des ordres de convergence numériques qui se rapprochent de plus en plus de l'ordre de convergence analytique attendu.

Dans ce problème, l'absence d'opérateur de différentiation assure que la régularité du terme source est entièrement conservée dans la solution exacte. Le problème se réduit ainsi à un problème d'interpolation pure, et l'erreur numérique observée est essentiellement l'erreur d'interpolation associée aux éléments finis utilisés. Cela explique la convergence optimale observée pour les différents degrés de discrétisation. Ce test constitue donc un cas de validation pertinent de l'implémentation de la méthode des éléments finis.

2.2 Problème de Diffusion Isotropique

2.2.1 Éléments Finis P1

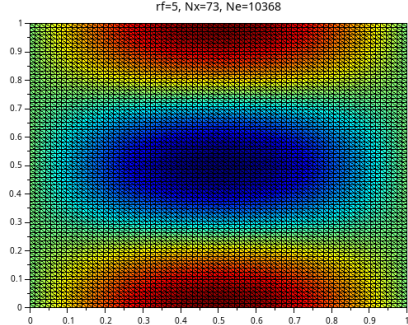


Table 2.4: Ordres de Convergences EF P1

| N_{ddl} | \mathcal{O}_{L^1} | \mathcal{O}_{L^2} | \mathcal{O}_{L^∞} |
|-----------|---------------------|---------------------|--------------------------|
| 625 | 1.97419 | 1.97652 | 1.96301 |
| 961 | 1.99012 | 1.99117 | 1.98623 |
| 3721 | 1.99588 | 1.99620 | 1.99409 |
| 5329 | 1.99840 | 1.99852 | 1.99771 |

2.2.2 Éléments Finis P2

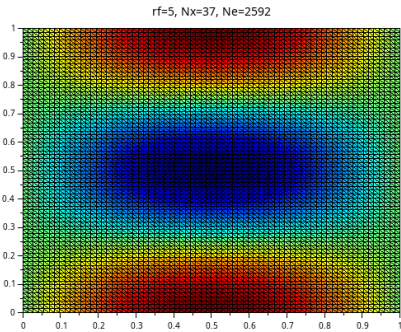


Table 2.5: Ordres de Convergences EF P2

| N_{ddl} | \mathcal{O}_{L^1} | \mathcal{O}_{L^2} | \mathcal{O}_{L^∞} |
|-----------|---------------------|---------------------|--------------------------|
| 625 | 3.1115708 | 3.001482 | 2.8781441 |
| 961 | 3.0816749 | 2.9984202 | 2.8825957 |
| 3721 | 3.0509048 | 2.9987316 | 2.965169 |
| 5329 | 3.0305138 | 2.9992783 | 3.0040535 |

2.2.3 Éléments Finis P3

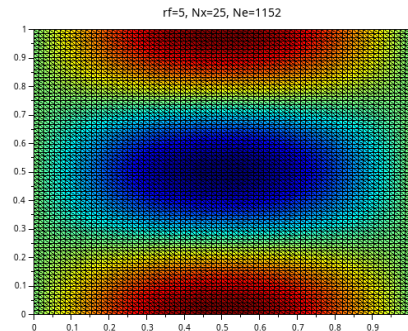


Table 2.6: Ordres de Convergences EF P3

| N_{ddl} | \mathcal{O}_{L^1} | \mathcal{O}_{L^2} | \mathcal{O}_{L^∞} |
|-----------|---------------------|---------------------|--------------------------|
| 625 | 4.06672 | 4.04725 | 3.91527 |
| 961 | 4.08945 | 4.06334 | 3.91370 |
| 3721 | 4.05030 | 4.04369 | 3.99174 |
| 5329 | 4.03180 | 4.02687 | 3.99300 |

On peut voir clairement que l'ordre de convergence optimal est atteint avec les 3 degrés d'éléments finis on observe la convergence vers l'ordre analytique avec le raffinement su maillage.

Dans le cas du problème de diffusion isotrope, l'équation comporte un opérateur elliptique du second ordre. Néanmoins, compte tenu de la régularité du domaine, des coefficients constants et du choix d'un second membre lisse, la solution exacte reste suffisamment régulière. Les estimations théoriques de la méthode des éléments finis prédisent alors une convergence d'ordre $k + 1$ en norme L^2 pour des éléments finis de degré P_k . Les résultats numériques confirment ces estimations, ce qui montre que la convergence observée est optimale.

2.3 Problème de Diffusion Anisotropique -1

`bet_x=1 - bet_y = 2`

2.3.1 Éléments Finis P1

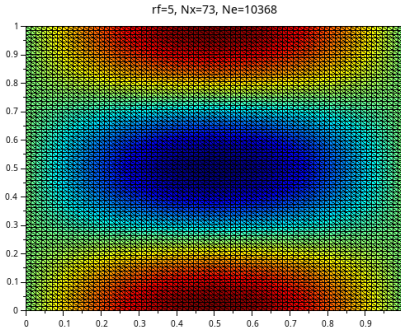


Table 2.7: Ordres de Convergences EF P1

| N_{ddl} | \mathcal{O}_{L^1} | \mathcal{O}_{L^2} | \mathcal{O}_{L^∞} |
|-----------|---------------------|---------------------|--------------------------|
| 625 | 1.97273 | 1.97544 | 1.96380 |
| 961 | 1.98943 | 1.99073 | 1.98653 |
| 3721 | 1.99559 | 1.99600 | 1.99422 |
| 5329 | 1.99831 | 1.99845 | 1.99776 |

2.3.2 Éléments Finis P2

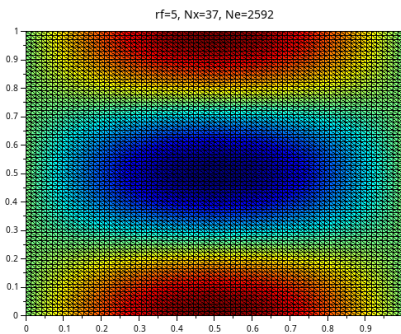


Table 2.8: Ordres de Convergences EF P2

| N_{ddl} | \mathcal{O}_{L^1} | \mathcal{O}_{L^2} | \mathcal{O}_{L^∞} |
|-----------|---------------------|---------------------|--------------------------|
| 625 | 3.13451 | 3.01762 | 2.83257 |
| 961 | 3.09126 | 3.00677 | 2.84382 |
| 3721 | 3.058652 | 3.00260 | 2.96526 |
| 5329 | 3.03275 | 3.00084 | 2.99838 |

2.3.3 Éléments Finis P3

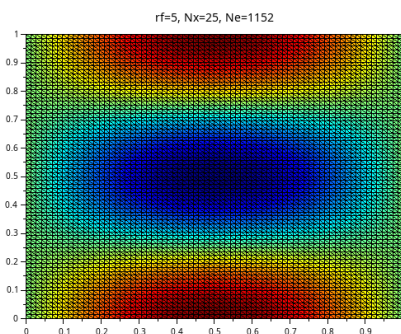


Table 2.9: Ordres de Convergences EF P3

| N_{ddl} | \mathcal{O}_{L^1} | \mathcal{O}_{L^2} | \mathcal{O}_{L^∞} |
|-----------|---------------------|---------------------|--------------------------|
| 625 | 4.06637 | 4.06888 | 3.99099 |
| 961 | 4.10074 | 4.08167 | 3.94179 |
| 3721 | 4.05800 | 4.05519 | 3.99241 |
| 5329 | 4.03741 | 4.03330 | 3.99652 |

Pour le cas de diffusion anisotrope, $\beta_x, \beta_y \neq 0$, on se retrouve avec un résultat similaire au cas de diffusion isotrope, on atteint la convergence optimale grâce à l'opérateur de diffusion qui nous assure la continuité entre les éléments, qui assure la convergence de la méthode.

2.4 Problème de Diffusion Anisotropique - 2

`bet_x=1 - bet_y = 0`

2.4.1 Éléments Finis P1

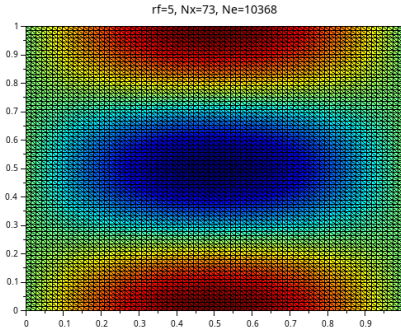


Table 2.10: Ordres de Convergences EF P1

| N_{ddl} | \mathcal{O}_{L^1} | \mathcal{O}_{L^2} | \mathcal{O}_{L^∞} |
|-----------|---------------------|---------------------|--------------------------|
| 625 | 1.93041 | 1.93026 | 1.94752 |
| 961 | 1.96431 | 1.96378 | 1.98049 |
| 3721 | 1.97949 | 1.97908 | 1.99163 |
| 5329 | 1.98831 | 1.9879 | 1.99676 |

2.4.2 Éléments Finis P2

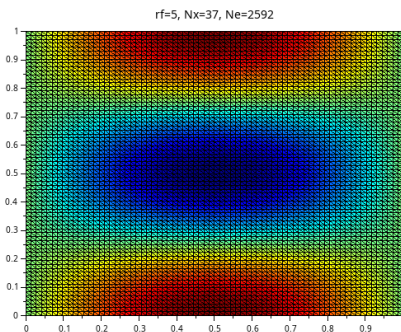


Table 2.11: Ordres de Convergences EF P2

| N_{ddl} | \mathcal{O}_{L^1} | \mathcal{O}_{L^2} | \mathcal{O}_{L^∞} |
|-----------|---------------------|---------------------|--------------------------|
| 625 | 1.93141 | 1.92792 | 1.80499 |
| 961 | 1.97769 | 1.97254 | 1.92654 |
| 3721 | 1.98919 | 1.98862 | 1.91316 |
| 5329 | 1.99577 | 1.99577 | 1.95396 |

2.4.3 Éléments Finis P3

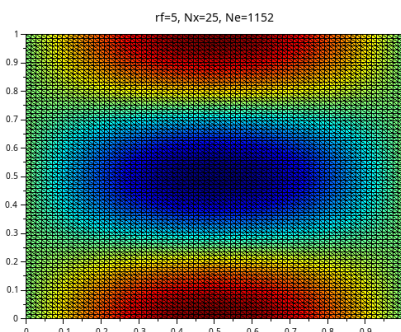


Table 2.12: Ordres de Convergences P3

| N_{ddl} | \mathcal{O}_{L^1} | \mathcal{O}_{L^2} | \mathcal{O}_{L^∞} |
|-----------|---------------------|---------------------|--------------------------|
| 625 | 3.05904 | 3.01542 | 2.87664 |
| 961 | 3.09398 | 3.03914 | 3.07300 |
| 3721 | 3.05904 | 3.02753 | 2.95907 |
| 5329 | 3.02970 | 3.01459 | 2.99720 |

Dans ce cas, on a un coefficients de diffusion strictement positive, et l'autre est nul, donc la diffusion est controlée dans une seule direction mais pas l'autre, donc ça engendre une perte de précision pour le schémas numérique, surtout pour les éléments finis P2, P3.

Pour les éléments finis P1 en 2D, les fonctions de bases sont affines, et leurs gradients sont des constantes, donc pour une fonction de base ϕ , on a $\partial_y \phi = 0$ et $\partial_{yy} \phi = 0$, donc on est pas capable de capturer les oscillations dans la direction y. Par contre pour les éléments finis P2, P3, les fonction de bases ont des dérivées double non nulle dans la direction y, et donc ces oscillations qui viennent de $\text{bet_y}=0$, vont diminuer l'ordre de convergence.

2.5 Problème de Diffusion Anisotropique - 3

`bet_x=10-8` - `bet_y=1.0`

2.5.1 Éléments Finis P1

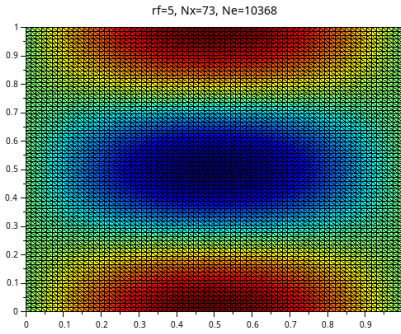


Table 2.13: Ordres de Convergences EF P1

| N_{ddl} | \mathcal{O}_{L^1} | \mathcal{O}_{L^2} | \mathcal{O}_{L^∞} |
|-----------|---------------------|---------------------|--------------------------|
| 625 | 1.95385 | 1.96422 | 1.96428 |
| 961 | 1.97641 | 1.98314 | 1.98671 |
| 3721 | 1.98690 | 1.99094 | 1.99430 |
| 5329 | 1.99257 | 1.99516 | 1.99779 |

2.5.2 Éléments Finis P2

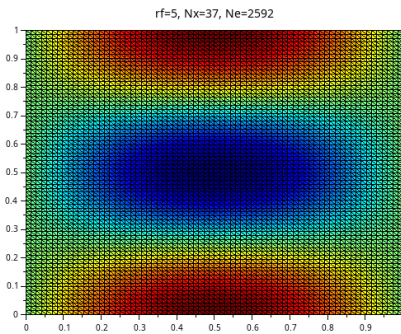


Table 2.14: Ordres de Convergences EF P2

| N_{ddl} | \mathcal{O}_{L^1} | \mathcal{O}_{L^2} | \mathcal{O}_{L^∞} |
|-----------|---------------------|---------------------|--------------------------|
| 625 | 2.02834 | 2.01544 | 2.10425 |
| 961 | 2.00754 | 2.00640 | 2.03411 |
| 3721 | 2.00438 | 2.00293 | 1.98629 |
| 5329 | 2.00182 | 2.00123 | 1.99467 |

2.5.3 Éléments Finis P3

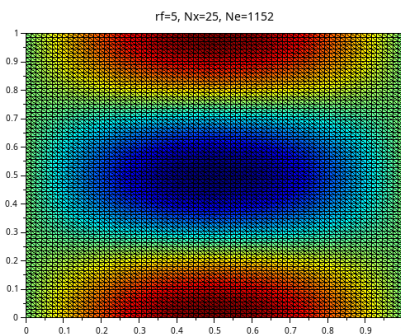


Table 2.15: Ordres de Convergences EF P3

| N_{ddl} | \mathcal{O}_{L^1} | \mathcal{O}_{L^2} | \mathcal{O}_{L^∞} |
|-----------|---------------------|---------------------|--------------------------|
| 625 | 3.05480 | 3.04433 | 3.01779 |
| 961 | 3.06434 | 3.02938 | 3.01797 |
| 3721 | 3.03969 | 3.01526 | 3.00915 |
| 5329 | 3.01913 | 3.00674 | 3.00392 |

Dans ce cas, on est équivalent au cas précédent, parce que la stabilisation avec 10^{-8} , ne change pas trop le résultat vue que on est à l'ordre zéro machine.

2.6 Problème de convection - 1

`bet_x=0 - bet_y= 0`

2.6.1 Éléments Finis P1

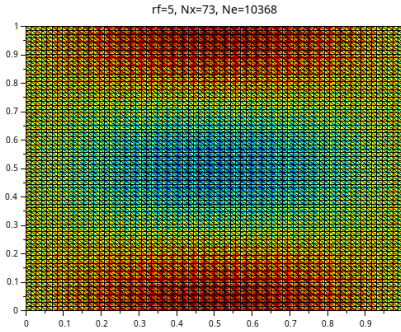


Table 2.16: Ordres de Convergences EF P1

| N_{ddl} | \mathcal{O}_{L^1} | \mathcal{O}_{L^2} | \mathcal{O}_{L^∞} |
|-----------|---------------------|---------------------|--------------------------|
| 625 | 1.74852 | 1.72200 | 1.71416 |
| 961 | -8.14237 | -8.13579 | -8.00416 |
| 3721 | 3.37056 | 3.37478 | 3.36347 |
| 5329 | -6.53575 | -6.55494 | -6.51228 |

2.6.2 Éléments Finis P2

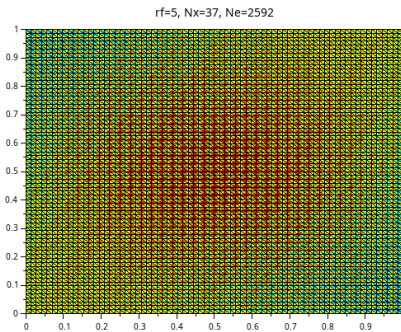


Table 2.17: Ordres de Convergences EF P2

| N_{ddl} | \mathcal{O}_{L^1} | \mathcal{O}_{L^2} | \mathcal{O}_{L^∞} |
|-----------|---------------------|---------------------|--------------------------|
| 625 | -1.75563 | -1.74403 | -1.73462 |
| 961 | 2.28233 | 2.28359 | 2.33131 |
| 3721 | 5.24659 | 5.23791 | 5.19899 |
| 5329 | -11.63702 | -11.60970 | -11.4353 |

2.6.3 Éléments Finis P3

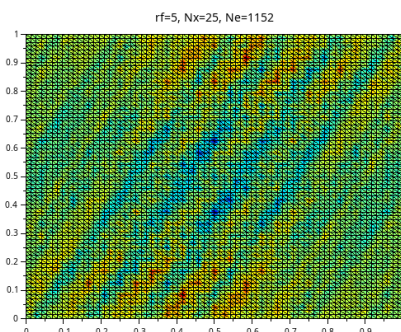


Table 2.18: Ordres de Convergences EF P3

| N_{ddl} | \mathcal{O}_{L^1} | \mathcal{O}_{L^2} | \mathcal{O}_{L^∞} |
|-----------|---------------------|---------------------|--------------------------|
| 625 | 0.091138 | 0.03396 | -0.53013 |
| 961 | 4.24665 | 4.49939 | 5.42121 |
| 3721 | 0.27163 | 0.20397 | -0.51486 |
| 5329 | -4.73597 | -4.45104 | -3.29281 |

On voit très bien que pour un problème de convection pure, le schéma est instable.
Pour un problème de convection ,on a la matrice de convection qui est non-symétrique et non-définie positive.

2.7 Problème de convection - 2

$$\text{bet_x} = \text{bet_y} = dh^m$$

2.7.1 Éléments Finis P1

$$m = 1$$

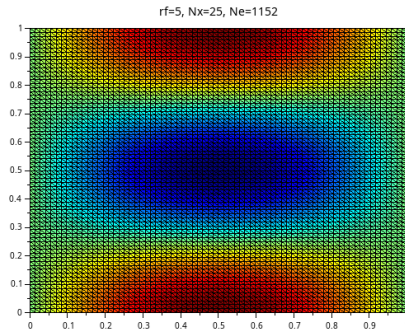


Table 2.19: Ordres de Convergences
EF P1 - $m = 1$

| N_{ddl} | \mathcal{O}_{L^1} | \mathcal{O}_{L^2} | \mathcal{O}_{L^∞} |
|-----------|---------------------|---------------------|--------------------------|
| 625 | 1.97112 | 1.98308 | 2.07831 |
| 961 | 1.90754 | 1.95687 | 2.08645 |
| 3721 | 1.90620 | 1.95104 | 2.05827 |
| 5329 | 1.92658 | 1.95561 | 2.03342 |

$$m = 2$$

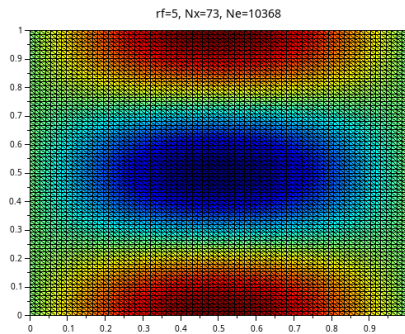


Table 2.20: Ordres de Convergences
EF P1 - $m = 2$

| N_{ddl} | \mathcal{O}_{L^1} | \mathcal{O}_{L^2} | \mathcal{O}_{L^∞} |
|-----------|---------------------|---------------------|--------------------------|
| 625 | 1.98728 | 2.00090 | 1.74738 |
| 961 | 1.99571 | 1.99941 | 1.88509 |
| 3721 | 1.99770 | 1.99963 | 1.93538 |
| 5329 | 1.99911 | 1.99982 | 1.96316 |

$$m = 3$$

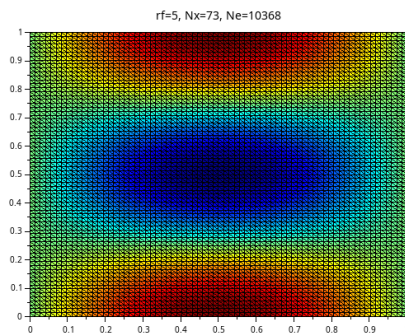


Table 2.21: Ordres de Convergences
EF P1 - $m = 3$

| N_{ddl} | \mathcal{O}_{L^1} | \mathcal{O}_{L^2} | \mathcal{O}_{L^∞} |
|-----------|---------------------|---------------------|--------------------------|
| 625 | 2.02202 | 2.00893 | 1.94600 |
| 961 | 1.98542 | 1.97772 | 1.73081 |
| 3721 | 1.80738 | 1.79945 | 1.59054 |
| 5329 | 1.41346 | 1.39649 | 1.18902 |

2.7.2 Éléments Finis P2

$m = 1$

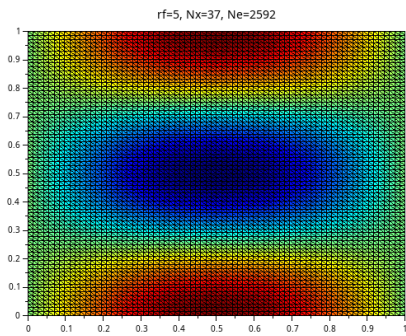


Table 2.22: Ordres de Convergences
EF P2 - $m = 1$

| N_{ddl} | \mathcal{O}_{L^1} | \mathcal{O}_{L^2} | \mathcal{O}_{L^∞} |
|-----------|---------------------|---------------------|--------------------------|
| 625 | 3.05919 | 2.9829 | 2.94559 |
| 961 | 3.03844 | 2.98196 | 2.94208 |
| 3721 | 3.02272 | 2.98681 | 3.01895 |
| 5329 | 3.01351 | 2.99100 | 3.04087 |

$m = 2$

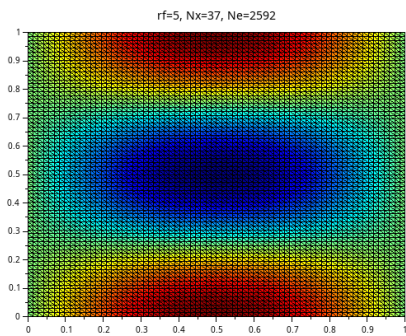


Table 2.23: Ordres de Convergences
EF P2 - $m = 2$

| N_{ddl} | \mathcal{O}_{L^1} | \mathcal{O}_{L^2} | \mathcal{O}_{L^∞} |
|-----------|---------------------|---------------------|--------------------------|
| 625 | 2.03881 | 2.05278 | 2.12951 |
| 961 | 2.01009 | 2.01687 | 2.07534 |
| 3721 | 1.99973 | 2.00576 | 1.93441 |
| 5329 | 1.99851 | 2.00152 | 1.87253 |

$m = 3$

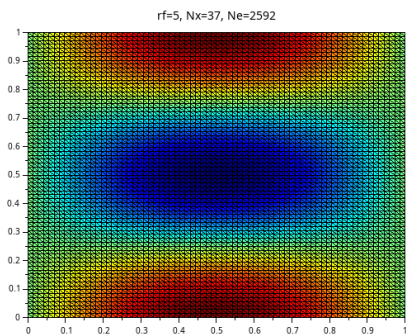


Table 2.24: Ordres de Convergences
EF P2 - $m = 3$

| N_{ddl} | \mathcal{O}_{L^1} | \mathcal{O}_{L^2} | \mathcal{O}_{L^∞} |
|-----------|---------------------|---------------------|--------------------------|
| 625 | 1.88702 | 1.88042 | 1.79024 |
| 961 | 1.89207 | 1.89154 | 1.76315 |
| 3721 | 1.92472 | 1.91969 | 1.31702 |
| 5329 | 1.95201 | 1.93999 | 1.28818 |

2.7.3 Éléments Finis P3

$m = 1$

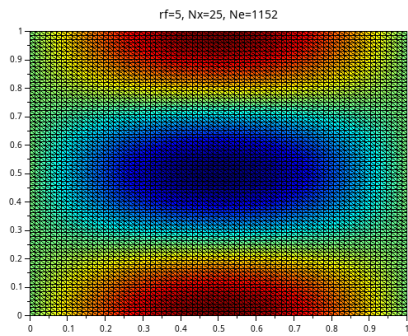


Table 2.25: Ordres de Convergences
EF P3 - $m = 1$

| N_{ddl} | \mathcal{O}_{L^1} | \mathcal{O}_{L^2} | \mathcal{O}_{L^∞} |
|-----------|---------------------|---------------------|--------------------------|
| 625 | 4.05680 | 4.03643 | 3.91231 |
| 961 | 4.01539 | 4.03475 | 3.88134 |
| 3721 | 3.94236 | 3.96746 | 3.99044 |
| 5329 | 3.83154 | 3.86755 | 3.90009 |

$m = 2$

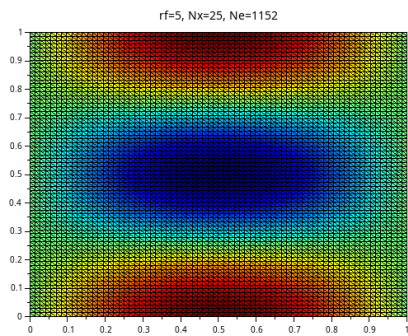


Table 2.26: Ordres de Convergences
EF P3 - $m = 2$

| N_{ddl} | \mathcal{O}_{L^1} | \mathcal{O}_{L^2} | \mathcal{O}_{L^∞} |
|-----------|---------------------|---------------------|--------------------------|
| 625 | 3.56840 | 3.53996 | 2.9969 |
| 961 | 3.04225 | 2.93576 | 2.4476 |
| 3721 | 2.67782 | 2.67194 | 2.69727 |
| 5329 | 2.4107 | 2.48314 | 2.77680 |

$m = 3$

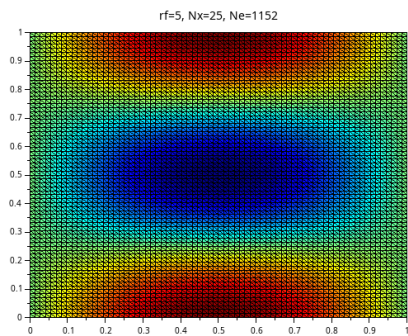


Table 2.27: Ordres de Convergences
EF P3 - $m = 3$

| N_{ddl} | \mathcal{O}_{L^1} | \mathcal{O}_{L^2} | \mathcal{O}_{L^∞} |
|-----------|---------------------|---------------------|--------------------------|
| 625 | 1.51875 | 1.49997 | 1.13130 |
| 961 | 1.53346 | 1.46655 | 1.14225 |
| 3721 | 1.72918 | 1.66856 | 1.64177 |
| 5329 | 1.54625 | 1.58416 | 1.69793 |

Dans ce cas, on rajoute un terme diffusif afin de stabiliser le schéma, par un terme $dh = \sqrt{\frac{L_x * L_y}{N_e}}$, qui dépend du nombre d'éléments du maillage.

- Pour les éléments P1 : On voit que pour les éléments , avec un $m = 1$ et $m = 2$ on voit un ordre de convergence égale à l'ordre optimale ,même avec augmentation du nombre d'éléments , pour un $m = 3$ on voit que l'ordre diminue en augmentant le nombre d'éléments.
- Pour les éléments P2 : On voit que pour $m = 1$ on obtient la convergence optimale même en augmentant le nombre d'éléments, par contre pour $m = 2$ et $m = 3$ on observe une diminution d'ordre de convergence, surtout en augmentant le nombre d'éléments.
- Pour les éléments P3 : Tout de même , on observe l'ordre de convergence optimale pour $m = 1$ et on observe une détérioration de cet ordre pour $m = 2$ et $m = 3$ surtout en augmentant le nombre d'éléments.

En augmentant m de 1 à 3, ou en augmentant le nombre d'éléments, le terme de stabilization diminue, et donc se rapproche de 0 et on devient de plus en plus en plus proche du problème convectif pure.

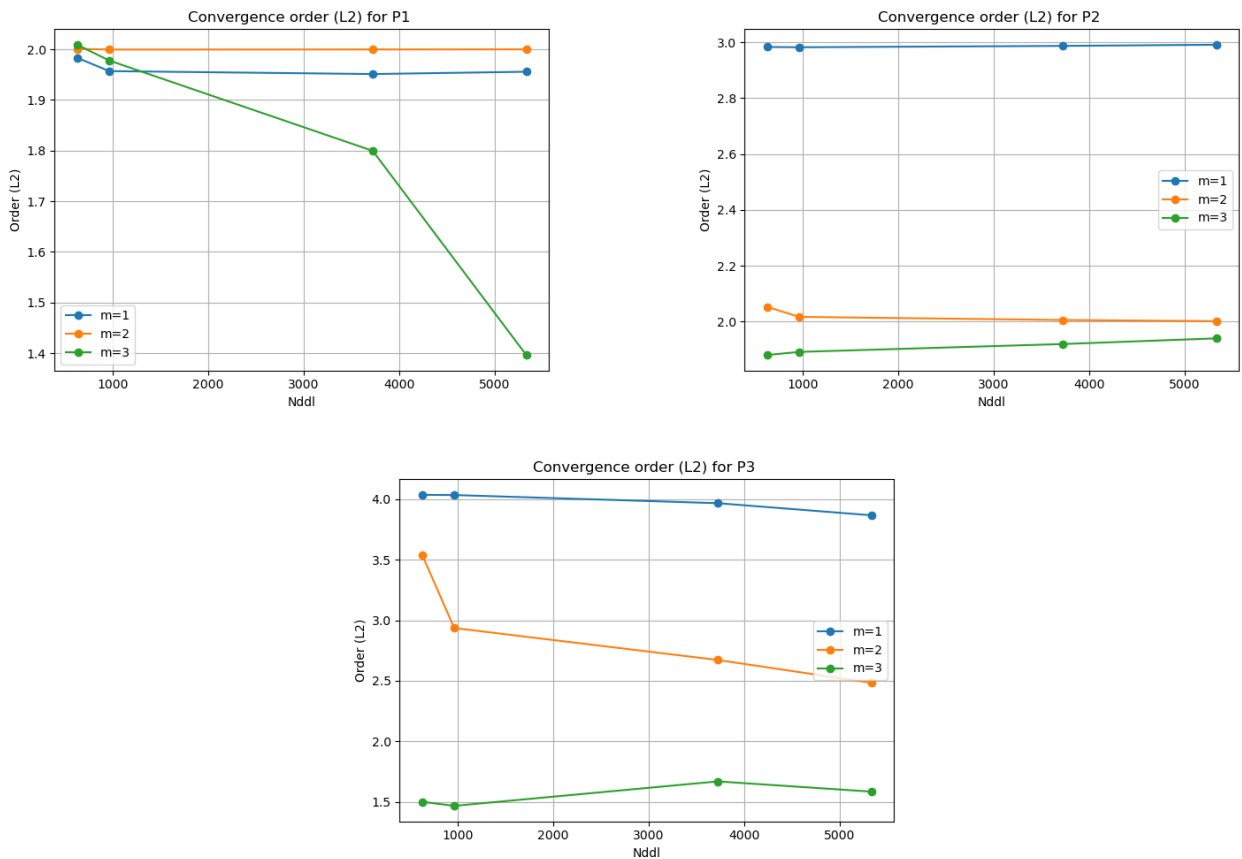


Figure 2.2: Variations de l'ordre de convergence pour différents m , en raffinant le maillage

2.8 Problème de Convection-Réaction-Diffusion anisotrope

2.8.1 Éléments Finis P1

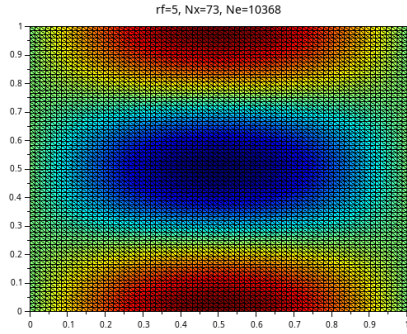


Table 2.28: Ordres de Convergences EF P1

| N_{ddl} | \mathcal{O}_{L^1} | \mathcal{O}_{L^2} | \mathcal{O}_{L^∞} |
|-----------|---------------------|---------------------|--------------------------|
| 625 | 1.96948 | 1.97216 | 1.96383 |
| 961 | 1.98850 | 1.98947 | 1.98745 |
| 3721 | 1.99488 | 1.99546 | 1.99447 |
| 5329 | 1.99808 | 1.99824 | 1.99822 |

2.8.2 Éléments Finis P2

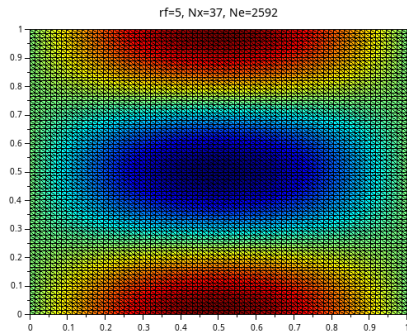


Table 2.29: Ordres de Convergences EF P2

| N_{ddl} | \mathcal{O}_{L^1} | \mathcal{O}_{L^2} | \mathcal{O}_{L^∞} |
|-----------|---------------------|---------------------|--------------------------|
| 625 | 3.14889 | 3.03116 | 2.85023 |
| 961 | 3.10345 | 3.01325 | 2.85401 |
| 3721 | 3.06385 | 3.00557 | 2.97114 |
| 5329 | 3.03600 | 3.00204 | 3.00165 |

2.8.3 Éléments Finis P3

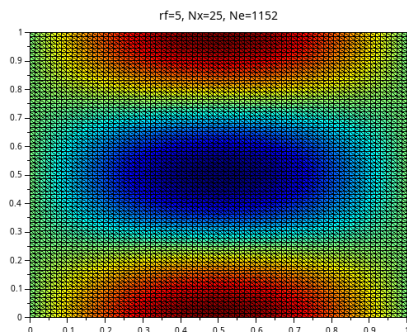


Table 2.30: Ordres de Convergences EF P3

| N_{ddl} | \mathcal{O}_{L^1} | \mathcal{O}_{L^2} | \mathcal{O}_{L^∞} |
|-----------|---------------------|---------------------|--------------------------|
| 625 | 4.06894 | 4.07209 | 3.99289 |
| 961 | 4.10116 | 4.08265 | 3.94118 |
| 3721 | 4.05844 | 4.05560 | 3.99638 |
| 5329 | 4.03749 | 4.03345 | 3.99800 |

Pour le problème de Convection-Réaction-Diffusion, la convergence optimale est obtenue pour les éléments finis P1,P2 et P3; surtout avec les termes de diffusion et de réaction ce qui assure la stabilité du schéma en présence du terme convectif.